

乱流における粘性，拡散，散逸

名大 工学部 桑原 真二

### §1. まえおき

乱流理論は流体の不規則な運動を対象とする。この中で統計流体力学 SHD は、N.-S. 方程式に支配される連続無限個の確率変数すなわち各点の流速に対する一般化された Liouville 方程式によらずくもので、数学的には最も厳密な構成をしている。しかし、その方程式はあまりに一般的でその一般性から多くの量を捨象し、有意な量を引き出し、更に乱流を直観的に把握する合理的な手法はまだ見出されていない。

乱流現象は多くのものと単純な物理的过程の集合とみなすことができる。例えれば、乱流を互いに飛びかう大小さまざまな流体粒子の集りとみなすことができれば、渦の集りとみなすこともできる。このようなモデル化が可能なうば、流体粒子のあるものは渦の力学を流体力学的論じ、更にこれらの力学と確率とを結びつけよることによって、今までのもの

と別種の PHD が建設できることである）。すなわち乱流の記述法（運動学）の違いによつて種々の PHD が存在する二種類である。

乱流を“流体粒子”，“渦”等の集りとみなす各種のモデル化が可能となり，個々の粒子，渦を特徴づけるスケール，速度スケールがあり，しかもかつてその運動を特徴づけるレイノルズ数：

$$R_\lambda = \frac{v\lambda}{\nu} \quad \nu: \text{動粘性率} \quad (1.1)$$

が存在する。この論文では乱流の大まきスケールの運動をするわざ

$$R_\lambda \gg 1 \quad (1.2)$$

を考える。そのよつて運動では近似的に完全流体として取り扱つかうこととなる。

こゝでは“渦系モデル”を採用するが，また“鉢巻玉モードル”すなわちといふか；流体粒子の集りとしてのモードルが不適切なことを論ずる。

流体の塊が何らかの原因で流体中に放出されるとする。流体の塊を球形とみなし，塊は静止してあるから見ると止つて流体球をすきよ一樣流で近似できる（図1）。

ベルヌーイの定理から圧力は A 及び C で最大値  $p_0$ ：

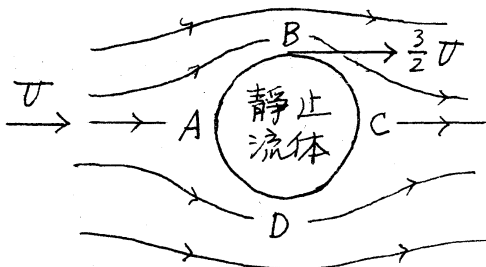
$$p_A = p_C = p_0 \quad (1.3)$$

とし、Bに向って減少して

$B \sim (D^2)$

$$p_B (= p_0) = p_0 - \frac{1}{2} \rho \left(\frac{3}{2} D\right)^2$$

(1.4)



とす。点A, Cで球の第1回転運動が起され、偏平回転粘性体に変形するであろう。今、Aにおける圧力勾配を

$$\frac{\partial p}{\partial x} \sim (p_A - p_B) / a \quad (1.5)$$

と評価し、上に述べた状態を初期条件として Euler の方程式に上りて A 点の運動を非常粗く計算すれば

$$\left. \begin{aligned} u_A &\sim \frac{U^2}{a} t \\ x_A &\sim \frac{U^2}{2a} t^2 \end{aligned} \right\} \quad (1.6)$$

とす。これら基づいて球が半分の厚さの偏平粘性体に変形する所要時間は

$$t \sim a/U \quad (x_A = a/2) \quad (1.7)$$

とす。点Aで球が半径位移動する間に大変形をおこすことはある。鉄砲玉モデルは鉄砲玉が十分長い間、形を保つことを仮定しているのでこのモデルを採用することは不適切である。

32. 粘性のきがなによる運動の領域における乱流構造の渦系  
モデル

この考の方は十分一般性があるが、2次元 Poiseuille 乱流 (P.P. 乱流) について考之す。P.P. 乱流では平行な壁の附近の十分うきい境界層 B.L. で渦系が発生し、境界層外への渦系の放出が起る考之す。B.L. の外側は十分うきい範囲として乱流の領域 F.D.T.R. で、放出された渦系はもとと小さく渦系の変化し、最後は粘性によつて消散す（第2図）。

このモデルの基礎とする渦系の特徴を上げておこう。

1) 渦系は Galilei 不変性

に対して不変である（流線は

座標系の運動により異なるハターンを示す。これが

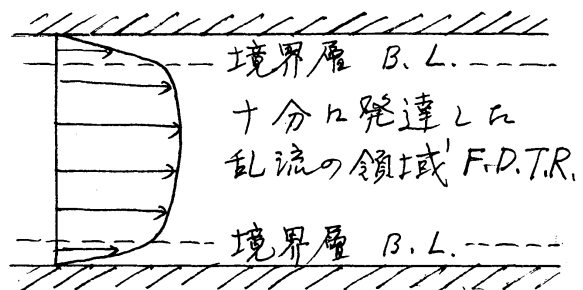
Galilei 不変でない） $\Rightarrow$  渦系の個性がある。

2)  $\operatorname{div} \omega = \operatorname{div} \operatorname{rot} v = 0 \Rightarrow$  渦系は流の場の中で発

生、消滅しない。 $\Rightarrow$  渦系は自身でといへる（例：渦環）

か、端が壁に附着するか、無限遠まで続けるか以外にはあり立たない。

3) 渦系の構造： 渦の核（渦度一定）、渦核の領域、外部（相互作用の領域）と考之す（第3図）。



第2図 P.P. 乱流

上の特徴もとづいて  
次のモデル化を行ふ。

1) 亂流は平均流と渦  
系(乱れ)の合成とな  
る。

2) 渦系は核( $0 \leq r$

第3図 渦系の構造

$\leq R$ )と有限の渦巻き領域( $R \leq r \leq 1$ )とかうす。

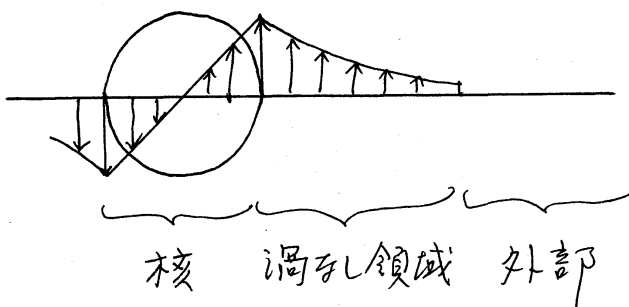
3) 渦系は平均流を変形し、渦巻自身及び他の渦系に対し  
てひきのばり(ちじめ)効果をもつ。

4) 渦系の曲りの効果は2次的無視できる。

5) 亂流のエネルギーは渦系の平行移動及び内部エネルギー  
一からなり、それらは分子平衡にありと仮定する。

6) 渦系はひきのばしと分裂によって小形化する。この  
際、循環(のれ)は保存し、系全体のエネルギーは保存す  
る。

次の渦系の力学を考之よう。以下渦系の変遷を考之する  
のれ、平均的の意味で一連の代表的渦のみを考える。渦系  
の半径を $r$ 、渦度を $\omega$ とすれば断面積、特徴的速度は $\alpha =$   
 $\pi R^2$ ,  $v = \omega R$ で表わされる。境界層でつくられた最大渦  
をサフィックス0, 最小の渦をサフィックス1とつけて表わ  
す。最小の渦とは、粘性効率の理れた前の渦で



$$v_d \lambda_d / v \sim 1 \quad (2.1)$$

と考えよ。渦系中の回転の速度分布は

$$v_\theta(r) = \begin{cases} \omega r & 0 \leq r \leq \lambda \\ \omega \lambda^2/r & \lambda \leq r \leq 1 \end{cases} \quad (2.2)$$

であるから、単位長さの渦系（以下、単位渦系と呼ぶ）のエネルギー $\Gamma$ は

$$\begin{aligned} \Gamma &= \frac{1}{2} \rho \int_0^{2\pi} \int_0^1 v_\theta^2 r dr d\theta \\ &= C \rho \omega^2 \lambda^4 \quad C = \pi \left( \frac{1}{4} + \log \frac{\lambda}{\lambda} \right) \quad (2.3) \end{aligned}$$

となる。

$\alpha$ をのばしに離し、 $\lambda \rightarrow \lambda'$  ( $\sigma \rightarrow \sigma'$ ) の変化を、分裂は2等分型 ( $\lambda \rightarrow \frac{1}{\sqrt{2}}\lambda$ ,  $\sigma \rightarrow \frac{1}{2}\sigma$ ) のみを考えよ。 $\alpha$ をのばしのばあい、Lagrangeの渦定理が成立つから

$$\Gamma \equiv \omega \sigma = \omega' \sigma' \quad (\equiv \Gamma') \quad (2.4)$$

したがって

$$\begin{aligned} \omega' &= \left( \frac{\lambda}{\lambda'} \right)^2 \omega \\ v' &= \frac{\lambda}{\lambda'} v \end{aligned} \quad \} \quad (2.5)$$

となり、2等分裂における

$$\Gamma = \omega \sigma = 2 \omega' \sigma' = \omega' \sigma' (= 2 \Gamma')$$

となる。

$$\begin{aligned} \omega' &= \omega \\ v' &= \omega' \lambda' = \frac{1}{\sqrt{2}} v \end{aligned} \quad \} \quad (2.6)$$

とする。

(2.5), (2.6) 及び (2.6) によって単位渦系のエネルギーの一  
の変化を計算すれば、式より

$$\left. \begin{array}{l} D' = D \\ D' = \frac{1}{4}D \end{array} \right\} \begin{array}{l} \text{aきのはし} \\ \text{2等分裂} \end{array} \quad (2.7)$$

である。實際、aきのはしにて渦系は  $\lambda \rightarrow \lambda'$  の変化に  
対して長さ 1 は  $(\lambda/\lambda')^2$  で増加し、2 等分裂では渦系は 2 倍  
になりますから、渦系全体に対してエネルギーは

$$\left. \begin{array}{l} D \rightarrow (\lambda/\lambda')^2 D' = (\lambda/\lambda')^2 D \\ D \rightarrow D' \times 2 = \frac{1}{2}D \end{array} \right\} \begin{array}{l} \text{aきのはし} \\ \text{2等分裂} \end{array} \quad (2.8)$$

で变化する。すなわち aきのはし ( $\lambda' < \lambda$ ) のおいては渦  
系全体のエネルギーは増加し、分裂に際してはそのエネルギー  
は減少する。されば、エネルギー保存の観点から、渦系の  
小形化は aきのはしが不可能で、aきのはしと分裂との  
くりかえしを行ふと考へることが合理的と思われる。

今、簡単のため 2 等分小形化を  $\lambda$  の 2 倍の aきのはし  
と 2 等分裂のみの過程を考へれば

$$\left. \begin{array}{l} D \rightarrow 2D \rightarrow 4D \rightarrow 8D \rightarrow \dots \\ D \rightarrow \frac{1}{2}D \rightarrow \frac{1}{4}D \rightarrow \frac{1}{8}D \rightarrow \dots \end{array} \right\} \begin{array}{l} \text{2倍aきのはし} \\ \text{2等分裂} \end{array} \quad (2.9)$$

である。すなはて、2 倍 aきのはし 1, 2 等分裂 2 の割合で  
2 等分小形化が起れば、平均として乱れの全エネルギーは保

それと。

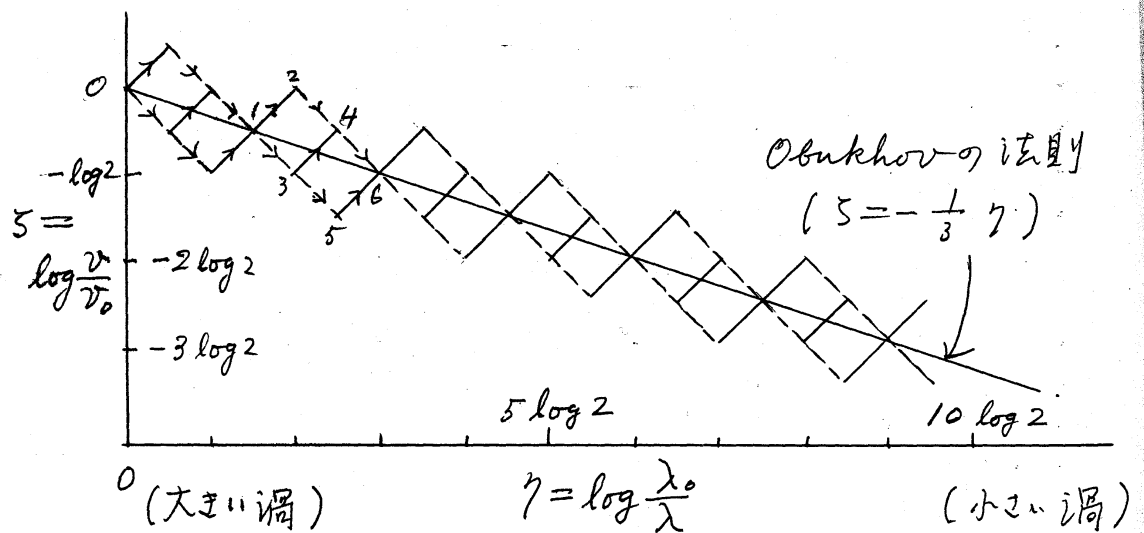
2倍 $\alpha_2$ のはしと2等分裂の間に<sup>特</sup>徴的速度は $v + v_2$

$$\left. \begin{array}{l} v \rightarrow \sqrt{2} v \\ v \rightarrow \frac{1}{\sqrt{2}} v \end{array} \right\} \begin{array}{l} 2倍\alpha_2\text{のはし} \\ 2等分裂 \end{array} \quad (2.10)$$

$v$ 変化する。上述述べた2倍 $\alpha_2$ のはし1, 2等分裂2の過程が終りて、丁度エネルギーが保存された状態では

$$\left. \begin{array}{l} \lambda \rightarrow \frac{1}{2\sqrt{2}} \lambda = \lambda' \\ v \rightarrow \frac{1}{\sqrt{2}} v = v' = \left(\frac{\lambda'}{\lambda}\right)^{1/3} v \end{array} \right\} \quad (2.11)$$

となる。2のあたりの結果は Obukhov の法則 (Landau & Lifschitz, (32.1) p 121) と一致する。2等分小形化の (2.11) の過程は第4図に示してある。



第4図 2等分小形化の過程で平均的な Obukhov 法則が  
なり立つ (1 → 2 → 4 → 6, 1 → 3 → 4 → 6, 1 → 3 →

5 → 6, → : 2倍 $\alpha_2$ のはし, --> : 2等分裂)

2等分小形化が定常的となり、(かたも各スケール $\gamma$  ( $\gamma = 0, \frac{1}{2} \log 2, \log 2, \frac{3}{2} \log 2, \dots$ )における滞在時間が等しいとすれば)、ある体積中の各スケールの単位渦糸の数は2等分小形化されて、2倍、4倍、8倍となる、一方その体積は  $1/2, 1/4, 1/8, \dots$  となるから、各スケールの渦糸全体のための体積は同じである。また、各スケールは  $\gamma$  上に等間隔に分布している。 $\gamma = \log k$  上の不連続の分布と連続的な分布とみなせば、渦糸に対するエネルギー一分布は

$$\frac{1}{2} v(x)^2 d\gamma = \frac{1}{2} \left(\frac{\lambda}{\lambda_0}\right)^{2/3} v_0 d \log \frac{\lambda}{\lambda_0} \quad (2.12)$$

となる。渦の集合を波の集と考へて入と波数 $k$ との関係を  $1/\lambda \sim k$  とすれば  $k$  におけるエネルギースペクトル  $E(k)$  は

$$E(k) dk \sim \frac{1}{2} v(x)^2 d\gamma \sim k^{-2/3} d(\log k) \sim k^{-5/3} dk \quad (2.13)$$

すなわち、Kolmogoroff のスペクトルがえられる。

次に渦糸が分裂する可能性を (2.2) の解の線形安定性によつて論ずる。核の半径 $r$  が微小量変化してとする:

$$r = \lambda + \sum_{l=2}^{\infty} \{ a_l e^{i\theta l} + c.c. \}, \quad \theta = l\theta - \omega t \quad (2.14)$$

$l=1$  は單なる平行移動であり省く。 $l=2$  が 2 等分裂の初期を表わす。核内の流れは、変形して半周度不变であるから

$$\nabla^2 \Psi = -\omega = \omega_0 = \text{const.}$$

したがってこの解は

$$\Psi = \frac{1}{4} \omega_0 r^2 + \sum_{l=2}^{\infty} (b_l r^l e^{il\theta} + c.c.) \quad (2.15)$$

とする。渦巻きの領域は複素速度ボテンシル  $U_f(z)$  で

$$f(z) = \frac{1}{2} i a^2 \omega_0 \log z + \sum_{l=2}^{\infty} c_l' \frac{1}{z^l}$$

の形で表わすと、その実数部から

$$\overline{\Psi} = -\frac{a^2 \omega_0}{2} \theta + \sum_{l=2}^{\infty} \left( \frac{c_l}{z^l} e^{il\theta} + c.c. \right) \quad (2.16)$$

がえられる。

(2.15) によって運動学の条件をつくれば

$$\begin{aligned} \frac{D}{Dt} (r - \lambda - h(\theta, t)) \\ \equiv v_r - \frac{\partial h}{\partial t} + v_\theta \frac{\partial h}{\partial \theta} = 0 \\ h(\theta, t) = \sum_{l=2}^{\infty} (a_l e^{il\theta} + c.c.) \end{aligned} \quad \} \quad (2.17)$$

とする。(2.15) と (2.16) を (2.17) に代入して

$$\begin{aligned} b_l &= -\frac{1}{l \lambda^{l-1}} (\Omega_l + \frac{1}{2} \omega_0 l) a_l e^{-il\theta} \\ c_l &= i \frac{\lambda^{l+1}}{l} (\Omega_l + \frac{1}{2} \omega_0 l) a_l e^{-il\theta} \end{aligned} \quad \} \quad (2.18)$$

がえられる。更に  $r = \lambda + h(\theta, t)$  のゲージ境界条件：

$$\rho|_{r=\lambda+h+0} = \rho|_{r=\lambda+h-0} \quad (2.20)$$

n以上の場合を代入すると、各モード ( $l = 2, 3, \dots$ ) に対して

$$\begin{aligned} \Omega_l &= -\frac{1}{2} \omega_0 l = \frac{1}{2} \omega l \\ \Omega_l &= -\frac{1}{2} \omega_0 (l-1) = \frac{1}{2} \omega (l-1) \end{aligned} \quad \} \quad (2.21)$$

がえられる。各モードの位相速度は  $\Omega_l/l$  であるから、前者は角速度  $\frac{1}{2}\omega$  でまわりながら同じ速さで、後者は  $\frac{1}{2}\omega$

$\gamma(l-1)/l$  がその速さで変形が回転するところを表わしていい。それ故線形安定性の理論からは中立安定の結果からうか、もっとくわしい運動をしらべるためには非線形理論によらなければならぬ。

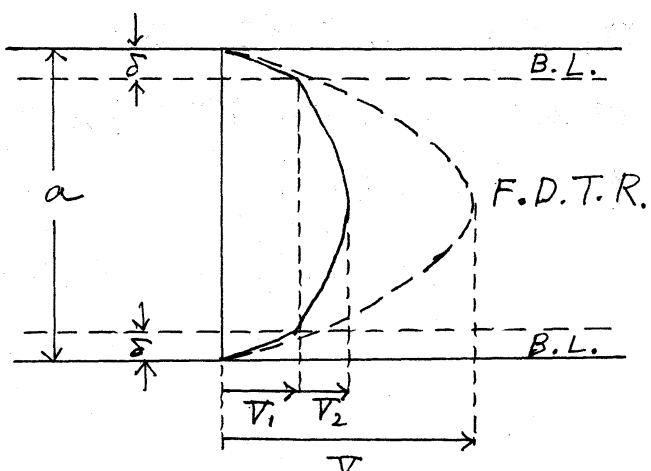
### §3. 乱流における散逸極小の仮説

§2のべた乱流の渦系モデルを P.P. 乱流に適用する。

P.P. 乱流において、境界層 B.L. と十分混達した乱流の領域 F.D.T.R. とに截然と割り分けられ、こゝでは一応分離できるものとする（第5図）。

そして B.L. では分子粘性  $\mu$  が、F.D.T.R. では渦粘性  $\mu_t$  (一定) が大きな運動を支配していると仮定する。

こゝでの議論は物理量の大きさの程度についてであって、数因子は問題にならない。傍流のはいの特徴的速度は



第5図 P.P. 乱流における特徴的速度

$V_0 = \alpha a^2 / \mu$  (3.1)  
である。こゝで  $\alpha = -d\bar{P}/dx$  は平均の圧力勾配である。

同様考え方から F.D.T.R. における特徴的速さ

$$V_2 = \alpha a^2 / \mu_t \quad (3.2)$$

である。滑粘性は境界層から放出される大きさの滑る特徴がうながすから、液体運動論と同じ考え方から

$$\mu_t = \rho \delta V_1 \quad (3.3)$$

とおくことができる。更に  $y = \delta$  又は  $a - \delta$  における接線応力の連続性から

$$\mu V_1 / \delta = \mu_t V_2 / a \quad (3.4)$$

をうる。ここで  $\rho, \mu, a$  と  $\alpha$  は与えられた量であり、 $V_1, V_2, \delta$  と  $\mu_t$  は未知量である。左で未知量を定めると  $(3.2) \sim (3.4)$  では条件が不足である。 $V_1, V_2, \mu_t$  は未知量  $\delta$  によって表せば

$$\left. \begin{aligned} V_1 &= \alpha a \delta / \mu, & V_2 &= \alpha v / \delta^2 \\ \mu_t &= \alpha a \delta^2 / v & (v = \mu / \rho) \end{aligned} \right\} \quad (3.5)$$

となる。

$\Rightarrow$   $x, y, z$  方向  $1 \times a \times 1$  の直方体の中での散逸速度

$$\begin{aligned} \dot{\epsilon} &= \mu (V_1 / \delta)^2 \delta + \mu_t (V_2 / a)^2 a \\ &= \alpha^2 a^2 \delta / \mu + \alpha v a^2 / \delta^2 \end{aligned} \quad (3.6)$$

で表わされる。 $\Rightarrow$  散逸極小の仮定を入れる。 (3.6)

で  $\delta$  は未知量であるが、これがつけて極小とすれば

$$d\dot{\epsilon} / d\delta = \alpha^2 a^2 / \mu - \alpha v a^2 / \delta^3 = 0$$

としと。 と = エ

$$\left. \begin{aligned} \delta &= (\mu \nu / \alpha)^{1/2}, \quad V_1 = a (\alpha^2 \nu / \mu^2)^{1/3} \\ V_2 &= a (\alpha^2 \nu / \mu^2)^{1/3} = V_1, \quad \mu_t = a (\alpha \mu^2 / \nu)^{1/3} \end{aligned} \right\} \quad (3.7)$$

としと。

層流に対するレイノルズ数  $Re$  と F.D.T.R. に対する  
レイノルズ数  $Re_2$  を

$$\left. \begin{aligned} Re &= V_0 a / \nu = \alpha a^3 / \mu \nu \\ Re_2 &= V_2 a / \nu = Re^{2/3} \end{aligned} \right\} \quad (3.8)$$

で定義すると

$$\left. \begin{aligned} \delta/a &= Re^{-1/3} = Re_2^{-1/2} \\ V_1/V_0 &= V_2/V_0 = Re^{-1/3} = Re^{-1/2} \\ \mu_t/\mu &= Re^{+1/3} = Re_2^{1/2} \end{aligned} \right\} \quad (3.9)$$

となる。

定常 P.P. 乱流においては F.D.T.R. における体積  $1 \times a'$   
 $\times 1$  ( $a' = a - 2\delta$ ) 中での散逸は B.L. からの体積に供給され  
る最大漏のエネルギーの割合である。最大の単位漏系の  
エネルギーは

$$D_0 = C \rho V_1^2 \delta^2 \sim \rho (\alpha a \delta^2 / \mu)^2 \quad (3.10)$$

とある。  $t_0$  を最大漏系が B.L. 中に滞在する時間とすれば  
は  $1/\delta t_0$  は  $(1 \times a' \times 1)$  中の最大の単位漏系が単位時間に  
供給される個数である。 さて

$$\frac{D_0}{\delta t_0} \sim \rho (\alpha a / \mu)^2 \delta^3 / t_0 \quad (3.11)$$

$\Rightarrow 1 \times a' \times 1$  中のエネルギーの増加率である。

$(1 \times a' \times 1)$  中の散逸 =  $(1 \times a' \times 1)$  への最大渦系の  
供給によるエネルギーの増加率

であるから、(3.10) と (3.11) を等置して

$$t_0 \sim (\alpha \delta^3 / \nu \mu) \delta^2 / \nu = \delta^2 / \nu \quad (3.13)$$

とする。この時間  $t_0$  は厚さ  $\delta$  の B.L. が成長する時間である。

#### §4. 乱流ブラウン運動における Einstein の関係式

乱流ブラウン運動とは乱流中の浮遊する粒子の不規則な運動をさすものとする。Einstein のブラウン運動の理論は次の考え方によるとすく。ブラウン粒子は熱運動によって不規則な運動をし、これらの粒子系（分散相）は透過圧  $p_{osm}$  をもつ（van't Hoff の法則）。

$$p_{osm} = k_B T n_p \quad (4.1)$$

ここで  $k_B$  は Boltzmann 定数、 $T$  は温度、 $n_p$  は粒子の数密度である。半透膜で仕切られた単純な流体と分散相との間の膜には透過圧が働き、直接測定できます（第 6 図）。さて  $n_p$  の中子の勾配があるとすれば、巨視的な拡散による流れが生ずる（Fick の法則）：

$$n_p \langle u \rangle = -D \operatorname{grad} n_p \quad (4.2)$$

$\Rightarrow$  ここで  $\langle u \rangle$  は粒子の平均速度,  $D$  は拡散係数である。  
(4.1) から、温度

を一定とすれば  $n_p$  の勾配は  $\rho \operatorname{const}$  の

勾配に比例する。Einstein は圧力勾配 第6回

の存在分散相が粘性流体中に浸してると考へて、圧力勾配

と粘性による抵抗とがバランスしているとした。圧力勾配

による分散相に働く体積力は

$$-\operatorname{grad} \rho \operatorname{const} \quad (4.3)$$

である。一方、分散相が半径  $a$  の球形粒子から成るとし

て、Stokes の抵抗法則を仮定すれば、分散相の受けた平均の体積力は

$$6\pi \mu a n_p \langle u \rangle \quad (4.4)$$

となる。 $\therefore$  (4.3) と (4.4) を等置して

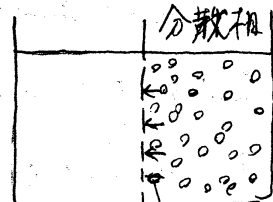
$$-\operatorname{grad} \rho \operatorname{const} = -k_B T \operatorname{grad} n_p = 6\pi \mu a n_p \langle u \rangle \quad (4.5)$$

$\therefore$  最後の式 (4.2) を代入し  $\operatorname{grad} n_p$  の係数を比較すれば

$$D = k_B T / (6\pi \mu a) \quad (4.6)$$

となる。これが Einstein の関係式である。以上の場合において (4.2) 及び (4.4) が成立するためには

$$|\operatorname{grad} n_p|/n_p = |\operatorname{grad} \rho \operatorname{const}|/\rho \operatorname{const} \ll 1 \}$$



分散相

$$a \ll l \quad \text{分子の平均自由行程} \quad \quad \quad (4.7)$$

が仮定されています。

上の考は必ずしも乱流ブラウン運動の適用です。

粒子は通れないが液体は自由に通過する力場の中に入れて F.D.T.R. に浸してやれば、粒子の力場への衝突によって力場は内側から外側に向う平均の力をうけるであろう（第7図）。すなはち

乱流渗透圧  $p_{t,osm}$  が存在すると言えます。

粒子分散系は乱れと力学的、統計的平衡状態にあり、粒子の速度分布は正規分布：

$$f(u) = A e^{-\alpha u^2} \quad (4.8)$$

と仮定する。  $\alpha = \tau^2$

$$\left. \begin{aligned} n_p &= \int f(u) d^3 u = A (\pi / \alpha)^{3/2} \\ \langle u^2 \rangle &= \int f(u) u^2 d^3 u = \frac{3}{4} \frac{1}{\alpha} \end{aligned} \right\} \quad (4.9)$$

となる

$$\begin{aligned} p_{t,osm} &= 2 \langle n_p u_x p_x \rangle \Big|_{u_x > 0} \\ &= \frac{1}{4} m A \pi^{1/2} / \alpha^{5/4} = \frac{1}{3} m \langle u^2 \rangle n_p \end{aligned} \quad (4.10)$$

が成立する。2つは (4.1) に対応する。 (4.2), (4.4) に対する

4.2

$$n_p \langle u \rangle = - D_t \operatorname{grad} n_p \quad (4.11)$$

$$-\operatorname{grad} p + \alpha m = -\frac{1}{3} m \langle u^2 \rangle \operatorname{grad} n_p = 6\pi \mu_t a n_p \langle u \rangle \quad (4.12)$$

を仮定する。  $\Rightarrow D_t$  は乱流拡散係数,  $m$  は  $\text{m}^3/\text{s}$  の粒子の質量である。 $(4.11)$  と  $(4.12)$  を組み立てる  $\mu_t = \operatorname{grad} n_p$  の係数から

$$D_t = \frac{m \langle u^2 \rangle}{18\pi \mu_t a} \quad (4.13)$$

をうる。 これが乱流ブラウン運動に対する Einstein の関係式である。

P.P. 乱流において,  $y$  方向の乱流拡散が起ることである。

$$\dot{y} = U'$$

$$\frac{\partial n_p}{\partial t} = D_t \frac{\partial^2 n_p}{\partial y^2} \quad (4.14)$$

が成立つ。 2 の基本解は

$$n_p(y, t) = \frac{1}{\sqrt{4\pi D_t t}} e^{-\frac{y^2}{4D_t t}} \quad (4.15)$$

である。 これが初期に  $y=0$  にある粒子の平均到達距離は

$$\langle y^2 \rangle = \int_{-\infty}^{\infty} y^2 n_p(y, t) dy = 2 D_t \cdot t \quad (4.16)$$

$$(D_t)^2 = 2$$

$$D_t = \langle y^2 \rangle / 2t \quad (4.17)$$

をうる。

$(4.7)$  の対応して、この理論の適用には次の条件は

$$\left. \begin{aligned} |\text{grad } n_p|/n_p &= |\text{grad } p_{\text{room}}|/p_{\text{room}} \ll 1 \\ a &\gg \lambda_0 = \text{最大渦のスケール} \end{aligned} \right\} (4.18)$$

である。

P.P.乱流において乱流フーラウン粒子の実験を行はる所を考究する。  $D_t$  は (4.17) により、  $\mu_t$  は F. D. T. R. における平均速度分布の曲率から、  $\langle u^2 \rangle$  はフーラウン粒子の速度自乗平均であるからすべて観測可能な量であり、 (4.13) は実験によって検証できることはすである。

### § 5. むすび

この論文では乱流構造の渦糸モデルを考察した。まず境界層によつて発生した大さな渦糸がひきのばしと分裂して、これを小形化する“渦糸の力学”を論じ (§ 2)， 2 次之 Poiseuille 乱流と境界層と十分に発達した乱流の領域に分離して、渦糸モデルを適用した (§ 3)。この際力場においては閉じた関係が立ちられず“散逸極小の仮説”を導入した。一般にランダムな渦糸を粗視化するととき、決定論的法則 (第 1 原理) では不十分で、統計法則を必要とする。この仮説は統計法則の一種と考えられる。§ 4 で Einstein のフーラウン運動の理論を乱流フーラウン運動 (乱流中に浮遊する粒子の不規則運動) へ適用した。 Einstein の関係式で温度が理かれておる

アランダウ粒子の運動エネルギーの一平均値が現れるが、粒子と  
乱れの力学的、統計的平衡と流体力学的理論が二つある  
が、これを乱れの性質の方にかえらせると思われる。

### 参考文献：

- 1) A. Einstein : Ann. der Phys. 17 (1905) 549 (湯川訳:  
アイゼンタイン選集 I (1971) 219, 玄文出版)
- 2) A. Einstein : Ann. der Phys. 19 (1906) 371 (湯川訳:  
アイゼンタイン選集 I (1971) 230, 玄文出版)
- 3) 繁厚直二：統計流体力学（流体力学の展望 I）1976,  
流体力学懇親会
- 4) L. D. Landau & E. M. Lifschitz : Fluid  
Mechanics §31~§32 (p116~p144) 1959,  
Pergamon Press.